



Академия Федеральной службы охраны Российской Федерации

## Подход к внедрению робастного водяного знака в текстовые данные

кандидат технических наук  
Козачок Александр Васильевич  
Копылов Сергей Александрович



22 марта 2018 г.

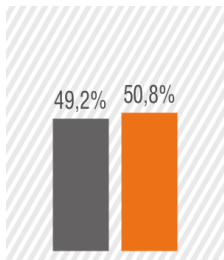


- 1 Характеристика предметной области исследования
- 2 Модель защиты текстовой информации на основе внедрения робастного водяного знака
- 3 Алгоритмы внедрения и извлечения робастного водяного знака
- 4 Оценка робастности разработанного подхода
- 5 Оценка точности извлечения встроенной информации



- 1 Характеристика предметной области исследования
- 2 Модель защиты текстовой информации на основе внедрения робастного водяного знака
- 3 Алгоритмы внедрения и извлечения робастного водяного знака
- 4 Оценка робастности разработанного подхода
- 5 Оценка точности извлечения встроенной информации

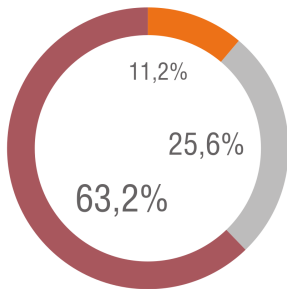
# Распределение инцидентов информационной безопасности



1/2 2017

- ВНУТРЕННИЕ
- ВНЕШНИЕ

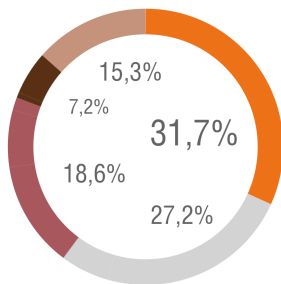
а)



1/2 2017

- Аутсорсеры, контрагенты, подрядчики
- Внутренние штатные администраторы
- Прочие внутренние пользователи

б)



1/2 2017

- Электронная почта
- Веб-ресурсы
- Съемные носители
- Печать
- Устройства прямого доступа в интернет

в)

Рис. 1. Распределение инцидентов информационной безопасности\*: а) по типу, б) по источнику внутренних инцидентов, в) по каналу утечки информации по внутренним инцидентам



- 1 Характеристика предметной области исследования
- 2 Модель защиты текстовой информации на основе внедрения робастного водяного знака**
- 3 Алгоритмы внедрения и извлечения робастного водяного знака
- 4 Оценка робастности разработанного подхода
- 5 Оценка точности извлечения встроенной информации



# Модель защиты текстовой информации

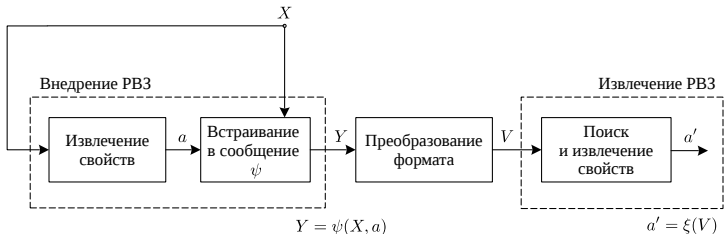


Рис. 2. Модель защиты текстовой информации от НСД за счет внедрения робастного водяного знака (РВЗ) при преобразовании формата

1	Nam dui ligula, fringilla a, euismod sodales, sollicitudin vel, wisi.	
2	Morbi auctor lorem non justo. Nam lacus libero, pretium at, lobor.	
3	vitae, ultricies et, tellus. Donec aliquet, tortor sed accumsan biben.	
4	erat ligula aliquet magna, vitae ornare odio metus a mi.....	$h + \Delta i$
5	tesque a nulla. Cum sociis natoque penatibus et magnis dis parturi	
6	montes, nascetur ridiculus mus. Aliquam tincidunt urna.	$h - \Delta i$
7	per vestibulum turpis. Pellentesque cursus luctus mauris.....	

Рис. 3. Вариант встраивания информации на основе изменения межстрочного интервала



Гарнитура используемого шрифта:

- 1 шрифт с засечками (serif) – Computer Modern Roman (аналог Times New Roman);
- 2 шрифт без засечек (sans serif) – Computer Modern Sans Serif (аналог Arial);
- 3 моноширинный шрифт (monospace) – Computer Modern Typewriter (аналог Courier New).

Таблица 1. Зависимость емкости встраивания от изменения межстрочного интервала и кегля шрифта

Кегль шрифта	Межстрочный интервал	Предельно допустимая емкость встраивания (бит)
10	1	60
10	1,5	40
10	2	30
12	1	49
12	1,5	33
12	2	24
14	1	42
14	1,5	28
14	2	21



- 1 Характеристика предметной области исследования
- 2 Модель защиты текстовой информации на основе внедрения робастного водяного знака
- 3 Алгоритмы внедрения и извлечения робастного водяного знака**
- 4 Оценка робастности разработанного подхода
- 5 Оценка точности извлечения встроенной информации



# Алгоритмы внедрения и извлечения робастного водяного знака



**Data:** Текстовый документ  $TD_0$ ,  
встраиваемая информация  $I$

**Result:** Подписанный текстовый документ  
 $TD_s$

```
1  $Len \leftarrow \text{GetLength}(I)$ 
2  $N \leftarrow \text{CountLines}(TD_0)$ 
3 if  $N > (Len + 1)$  then
4   for  $i \leftarrow 0$  to  $(N - 2)$  do
5      $j \leftarrow i \bmod Len$ 
6     if  $I_j = 1$  then
7        $TD_0 \leftarrow \text{Embed}(TD_0, i)$ 
8    $TD_s \leftarrow TD_0$ 
9 return  $TD_s$ 
```

Рис. 4. Алгоритм внедрения PB3  
в текстовый документ

**Data:** Изображение, содержащее текст  $Im_t$

**Result:** Встроенная информация  $I_e$

```
1  $Im_{grey} \leftarrow \text{ConvertToGray}(Im_t)$ 
2  $Im_{filt} \leftarrow \text{Filtration}(Im_{grey})$ 
3  $sinogram \leftarrow \text{RadonTransform}(Im_{filt})$ 
4 for  $l \leftarrow 0$  to 180 do
5    $R[l] \leftarrow \text{RmsCalculation}(sinogram)$ 
6  $rot \leftarrow \text{Argmax}(R)$ 
7  $row \leftarrow sinogram[rot]$ 
8  $M \leftarrow \text{FindPicks}(row)$ 
9  $D \leftarrow \text{CorrectErrors}(M)$ 
10  $min, max \leftarrow \text{FindModes}(D)$ 
11 if  $|D| > 3$  then
12   if  $\text{Std}(D) > 2$  then
13      $B \leftarrow$   
        $\text{GaussianMixture}(D, min, max)$ 
14   else
15      $B \leftarrow \{b_i\}$ 
16      $b_i \leftarrow 0, i = \overline{1, |D|}$ 
17 else
18    $I_e \leftarrow \{\}$ 
19 return  $I_e$ 
```

Рис. 5. Алгоритм извлечения PB3



- 1 Характеристика предметной области исследования
- 2 Модель защиты текстовой информации на основе внедрения робастного водяного знака
- 3 Алгоритмы внедрения и извлечения робастного водяного знака
- 4 Оценка робастности разработанного подхода
- 5 Оценка точности извлечения встроенной информации

# Оценка свойств робастности разработанного водяного знака

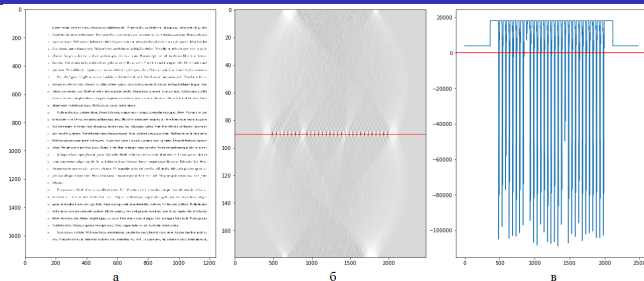


Рис. 6. Пример извлечения линий текста из изображения, содержащего текст

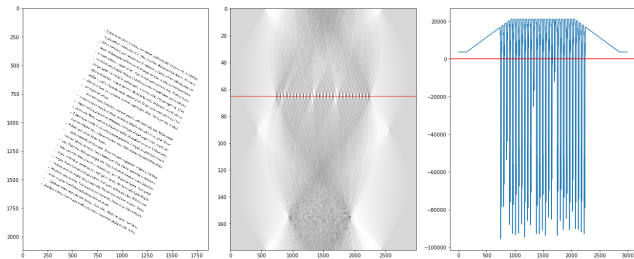


Рис. 7. Извлечение данных из изображения, повернутого на 25°

# Оценка свойств робастности разработанного водяного знака II

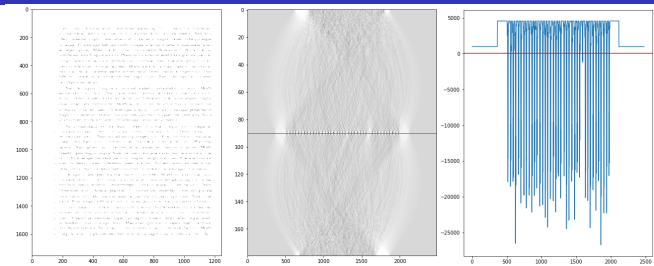


Рис. 8. Извлечение данных из изображения с примененным медианным фильтром

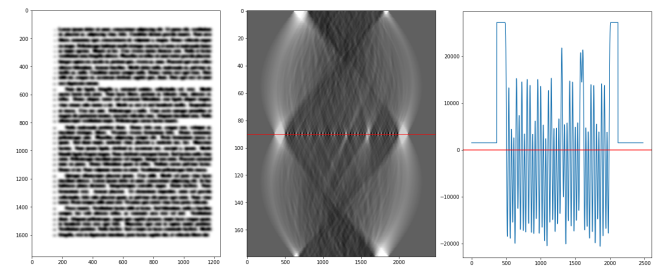


Рис. 9. Извлечение данных из изображения с примененным гауссовским фильтром

# Оценка свойств робастности разработанного водяного знака III

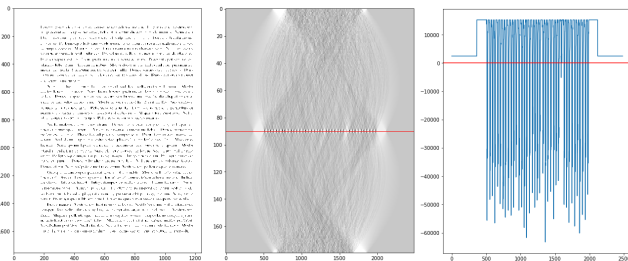


Рис. 10. Извлечение данных из изображения с примененным медианным фильтром

Тип преобразования	Устойчивость разработанного алгоритма к преобразованию
Поворот	поворот на любой угол
Масштабирование	коэффициент масштабирования до 150%
Преобразование формата	в любой формат растровых изображений
Медианная фильтрация	с пределом ядра свертки 9 пикселей
Гауссовская фильтрация	с пределом радиуса размытия 8 пикселей
Усредненная фильтрация	с пределом ядра свертки 5 пикселей
Уменьшение DPI	до 25 пикселей на дюйм

Таблица 2. Стойкость разработанного алгоритма к преобразованиям применяемым к изображениям



- 1 Характеристика предметной области исследования
- 2 Модель защиты текстовой информации на основе внедрения робастного водяного знака
- 3 Алгоритмы внедрения и извлечения робастного водяного знака
- 4 Оценка робастности разработанного подхода
- 5 Оценка точности извлечения встроенной информации



# Оценка точности извлечения встроенной информации I

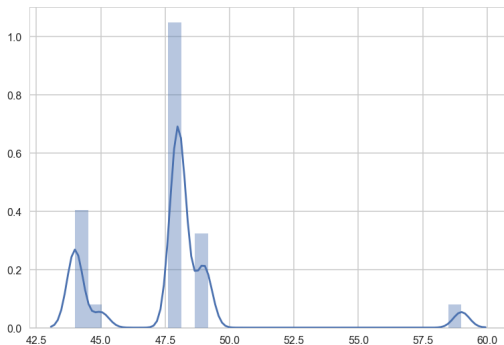


Рис. 11. Гистограмма с ядерной оценкой плотности распределения

Таблица 5. Результат извлечения информации из изображения со встроенным РВЗ

Файл	In	Двоичный массив межстрочных интервалов	Out
14_1	0110	0, 1, 1, 0, <u>1</u> , <u>0</u> , 1, 0, 0, 1, 1, 0, 0, 1, 1, 0, 0, 1, 1, <u>1</u> , 0, 1, 1, 0, 0, 1, 1, 0, 0, 1, 1, 0, 0, 1, 1, 0, 0, 1	0110
14_1	0111	0, 1, 1, 0, <u>1</u> , <u>1</u> , 1, 1, 1, 0, 1, 1, 1, 0, 1, 1, 1, 0, 1, <u>0</u> , 1, 0, 1, 1, 1, 0, 1, 1, 1, 0, 1, 1, 1, 0, 1, 1, 1, 0	0111



# Оценка точности извлечения встроенной информации II



Таблица 6. Результат извлечения информации при встраивании ее в документ с параметрами шрифта: 14 пт, межстрочный интервал – 1, величина изменения интервала – 1,1 интервала = 1,4 пт  $\approx$  0,49 мм

Разрешение изображения (DPI)	Время обработки, сек	Число строк в исходном документе	Извлеченное число строк	Точность	Вероятность ложных срабатываний	Вероятность пропуска цели
25	0,9	41	40	0,667	0,033	0,30
50	4	41	41	0,886	0,033	0,081
100	15	41	41	0,984	0,016	0
150	34	41	41	0,992	0,008	0
200	62	41	41	0,992	0,008	0
250	105	41	41	0,992	0,008	0
300	166	41	41	0,992	0,008	0

Таблица 7. Результат извлечения информации при встраивании ее в документ с параметрами шрифта: 14 пт, межстрочный интервал – 1,5, величина изменения интервала – 1,1 интервала = 1,4 пт  $\approx$  0,49 мм

Разрешение изображения (DPI)	Время обработки, сек	Число строк в исходном документе	Извлеченное число строк	Точность	Вероятность ложных срабатываний	Вероятность пропуска цели
25	0,8	28	28	0,62	0,083	0,297
50	4	28	28	0,75	0,024	0,226
100	16	28	28	0,988	0,012	0
150	35	28	28	1	0	0
200	70	28	28	1	0	0
250	101	28	28	1	0	0
300	143	28	28	1	0	0

# Оценка точности извлечения встроенной информации III

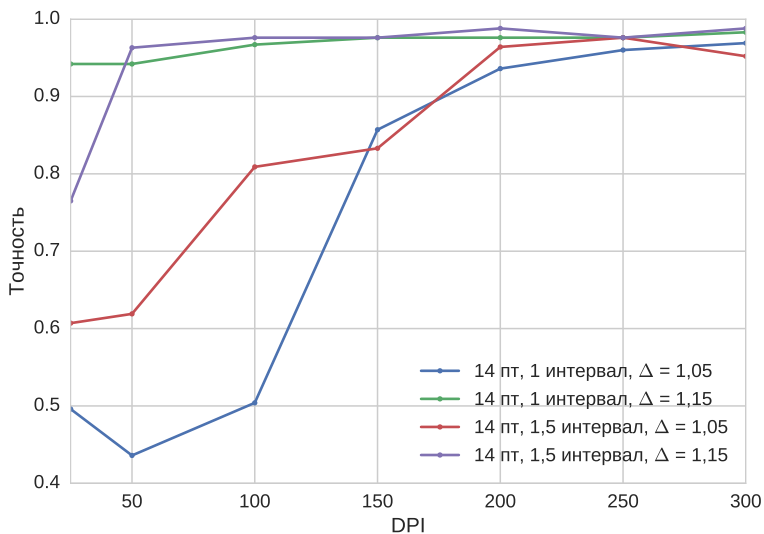


Рис. 12. Зависимость точности извлечения информации от DPI





Спасибо за внимание!  
Вопросы?



[a.kozachok@academ.msk.rsnet.ru](mailto:a.kozachok@academ.msk.rsnet.ru)